

电子管振荡的高频电热装置

电子管振荡器高頻电热装置

〔苏联〕 A. B. 虹斯科伊 Г. С. 兰穆 著
Ю. Б. 雄格多罗维奇譯
游本章譯



国防工业出版社

1966

出版者的話

本书介绍了在工业上所应用的各种不同材料在交变电磁场中加热用电子管振荡器高频电热装置。书中主要是研究在工业上得到广泛应用的自激电子管振荡器(自激振荡器)的工作状态，以及分析这些振荡器在最近几年内经过多次反复研究和改进的线路。

本书可供设计、使用和研究自激电子管振荡器高频装置的工程技术人员阅读。

本书译文承蒙吴济筠同志校阅，在此深表感谢。

ВЫСОКОЧАСТОТНЫЕ ЭЛЕКТРОТЕРМИЧЕСКИЕ
УСТАНОВКИ С ЛАМПОВЫМИ ГЕНЕРАТОРАМИ
〔苏联〕 А. В. Донской Г. С. Рамм Ю. Б. Выгдорович
ГОСЭНЕРГОИЗДАТ 1957

*
电子管振荡器高频电热装置

游本章译

*

国防工业出版社出版

北京市书刊出版业营业登记字第074号

新华书店北京发行所发行 各地新华书店经售

国防工业出版社印刷厂印装

*
850×1168 1/32 印张 9 3/4 245 千字

1966年2月第一版 1966年2月第一次印刷 印数：0,007~
统一书号：15034·1092 定价：（科六）

目 录

原序(节译).....	6
-------------	---

第一章 电子管振荡器电热装置概论

§ 1-1 发展史	7
§ 1-2 应用范围	9
§ 1-3 感应加热用电子管振荡器高频装置	10
a) ЛГЭ-10型装置	13
б) ЛГПЭ-30型和ЛГПЭ-60型装置	26
в) ЛГЭ-100型装置	26
г) ЛГЭ-200型装置	30
§ 1-4 介质加热用电子管振荡器高频装置	35
а) ЛГЕ-3Б型装置	36
б) ЛГЕ-3型装置	39
в) ЛГД-10型装置	41
§ 1-5 导电材料感应加热用设备	44
а) 高频熔炼炉	44
б) 穿透加热用的感应加热器	49
в) 感应器	50
§ 1-6 介质在高频电场中加热用设备	52
§ 1-7 电子管振荡器高频电热装置的整流器	55
§ 1-8 感应加热用电子管振荡器装置的回路电容器	60
§ 1-9 灯丝电路的铁谐振稳压器	66
§ 1-10 高频千伏表	76

第二章 自激振荡器的工作状态

§ 2-1	振荡迴路	86
§ 2-2	三极电子管（三极管）.....	98
§ 2-3	流过三极管的电流的计算	104
§ 2-4	三极管负电阻	113
§ 2-5	振荡器的线路	122
§ 2-6	自激振荡器工作状态的计算	131
§ 2-7	自激振荡器的调节	146

第三章 多迴路振荡器

§ 3-1	多迴路振荡器中振荡的定性分析	154
§ 3-2	防止自激振荡器工作不稳定性的方法	163
§ 3-3	双迴路振荡器中耦合频率的计算	175
§ 3-4	双迴路振荡器迴路的设计	186

第四章 感应加热用自激电子管振荡器线路的分析

§ 4-1	迴路间是电感耦合以及从加热迴路反馈的自激振荡器的双迴路线路	203
§ 4-2	迴路间是自耦变压器耦合以及从加热迴路反馈的自激振荡器的双迴路线路	218
§ 4-3	阳极迴路电容器组电容的计算	223
§ 4-4	计算示例	224
§ 4-5	相位关系对自激振荡器频率和效率的影响	229
§ 4-6	感应加热用三迴路线路	239
§ 4-7	带自耦变换进行工作的加热迴路的 r_2 和 x_2 的计算	248
§ 4-8	反馈变压器	250
§ 4-9	L_1 和 C'_1 的计算	252
§ 4-10	计算示例	253

§ 4-11 按相似原理进行的迴路計算	257
---------------------------	-----

第五章 介质加热用自激电子管振荡器线路的分析

§ 5-1 “Π”形线路	259
§ 5-2 “T”形线路	265
§ 5-3 反馈电路的计算	273
§ 5-4 具有分布参数的双线的等效线路	276
§ 5-5 具有分布参数的自激振荡器的等效线路	282
§ 5-6 计算示例	288
附录 1	296
附录 2	301
参考文献	302

原序（节譯）

随着冶金工业和机器制造业的迅速发展，发电站的数量已大大增加，发电量也不断增长。

在电热技术领域中，包括炼制优质钢用的几乎所有铁合金的生产、应用于气焊工业和磨料工业中的碳化钙及碳化硅的生产、许多有色金属和特殊耐火材料的生产以及采用非电热方法是不可能或者不经济的许多其它成品的生产。

主要利用电弧来保证完成上述高温工艺过程的专门电热装置的特点是：功率巨大，整个装置的功率达 60 兆瓦或更大。毫无疑问，在工业中这些装置的用电量是最大的。

可是，电热的意义现在已不尽局限于获得原始产品方面。如有色和黑色金属废料的回炉、具有特殊物理性能的合金的制备、金属的热处理和塑性加工、焊接、烘干、粘合以及钎焊等工艺中的电热过程所具有的重要意义正在开始逐渐增长。

电热装置用电量、其应用的普遍性和结构的复杂性的不断增长，促使我们要对它进行全面研究，以便改善其使用指标和电力指标。

这首先是指其中采用各种电流变频器和应用由电能转换为热能的新方法的最新型电热装置。这些电热装置的特点是结构极为复杂，要求设计和使用这些装置的人员，了解电流变频器、离子——电子器件、振荡回路系统、稳压器以及用在电热装置线路中的许多其它各种电气设备等方面的知识。

大力改善现代化电热装置的使用特性和电力特性的可能性，主要是在于提高应用在这些装置中电气设备的质量，以及提高这些设备能保证整个装置在工作状态下的最大稳定性和自动化条件下长期安全工作的线路。

在新型的电热装置中，电子管振荡器高频电热装置是最复杂的，而且是研究得最少的。

第一章

电子管振荡器电热装置概論

§ 1-1 发 展 史

在电子管振荡器电热装置得到广泛应用以前，像无线电发射机线路中所采用的振荡管以及在由长波到超短波无线电频带范围内工作的其它高频电气设备那样，已同时而独立地发展了。

在本世纪二十年代初期，电子管振荡器的制成，是由于无线电技术的蓬勃发展以及在此以前所应用的电磁振荡电源不够完善而引起的。

在这时期以前，应用在发射机线路中的火花振荡器、电弧振荡器以及机械式中频发生器，已经不能满足无线电通讯在获得任意频率、高效率以及在实现调制和键控的灵活性方面日益增长的要求。

在1920年首先研究成功了三极电子振荡管（三极管）。它是创造电子管振荡器的基础。

在制造电真空器件时，加热金属及石墨结构而使其除气是电子管振荡器在电热方面的首次应用。在那时期以前曾有着这样的报导：用火花振荡器和电弧振荡器供电的、熔炼小容积金属的高频炉，也很容易改用电子管振荡器供电。

从本世纪二十年代中期以后，高频熔炼炉基本上有两个发展方向。

第一个方向是制造大容积的金属熔炼炉，其所要求的电流频率是由500至10000赫的增高频率，它们很容易由机械式中频发生器得到。但是，由于对小容积高频熔炼炉需要（基本上作实验用）的

不断增长，要求从数千赫至数百千赫的电流频率，所以采用机械式中频发生器、火花振荡器以及电弧振荡器都不能满足要求。因此，高频电炉的第二个发展方向是制造由电子管振荡器供电的电气熔炼装置。

用电子管振荡器供电的金属熔炼装置，于1930年研究成功的。这个装置的振荡功率约30千瓦，其高频炉的坩埚具有5公斤钢的容量，经过长期运转，大大地促进了这种型号装置的继续发展。以后又制造了由铁水模压小型制品时熔炼铸铁用装置，这个装置由功率达3~5千瓦的电子管振荡器供电。

带有电子管振荡器的、能熔炼30公斤钢及加热金属用的万能装置，于1935~1936年设计成功，并投入使用，其功率为60千瓦。这个装置在后来就成为许多研究所及生产企业单位研究与其类似装置的基础。

1936~1938年期间，由于钢件表面淬火、硬质合金钎焊及其他类似工艺过程的发展，电子管振荡器已具有巨大的工业意义，引起人们对它特别感兴趣。

在这个时期里，又研究了带电子管振荡器的表面淬火装置，其功率为100、200及300千瓦。

1938~1939年，开始大批生产功率为30及60千瓦的表面淬火用电子管振荡器。

虽然在最初应用时，这些振荡器具有一系列的缺点，但是，它们大大地促进了高频电热装置新电源的发展。

从1944到1947年，实现了金属熔炼及表面淬火用装置的成批生产。

电子——离子真空器件、电容器和其它电气设备生产的发展，以及在高频电磁场中工业材料加热理论的发展和高频加热实际应用范围的日益扩大，促使了所生产的电热装置品种的增加，而且改进了它们的使用特性及电力特性。

§ 1-2 应用范围

所有电子管振荡器电热装置，按其用途、结构的一般原理和电路，可分为两大类。

第一类是那些在交变高頻磁场中加热导体材料的装置。

能产生具有相当大电场强度的交变磁场的装置，通常称为感应器。而利用感应电流在加热物体中使电能轉变为热能的方法，通常称为感应方法。

在高頻电炉中熔炼金属及合金是感应加热法最早的，而且在文献[1~4]中叙述得很完善的应用之一。带电子管振荡器的感应加热装置在表面淬火方面应用得較迟一些，但是在目前已得到比較广泛的应用。

至于感应加热表面淬火工艺及所需之感应器的结构和計算問題，在許多文献[5~8]中已有了詳細叙述，因此，本书将不作討論。

最近几年，带电子管振荡器的装置也开始用于毛坯的感应加热，以进行各种形式的金属塑性加工及热处理[9,10]。我們所研究的装置在这个新領域的应用上，要求在最近几年內解决一系列的技术問題，即关于大大增加电子管振荡器的功率，对加热装置的集中供电，毛坯加热規范的稳定，温度的自动控制等等。

带电子管振荡器的感应加热装置，在利用硬焊料进行零件的钎焊方面，也得到了广泛的应用。

所有上述采用感应加热的工艺过程，在大多数情况下，可以利用同一种电子管振荡器的装置来实现。但是，假若負載条件允許的話，应力求装置专门化，并使其固定于一种工艺，这样，将促进其使用特性及电力特性的改善。

第二类是那些在高頻电場中加热非导体材料用的电子管振荡器电热装置。

这种电热法之所以被开始感到实际兴趣，乃是由于它能把均质材料的整个体积加热得很均匀。这能使一般具有很小导热系数

的非导体材料加热过程加快几十倍或几百倍，这样就大大地加速了許多工艺过程的完成。

在不需蒸发大量水份的情况下，在高頻电場中使加热过程大大加速，无论对减少电力消耗，或是其它維护費用方面，通常是有利的。

当提出从工业材料中蒸发大量水分的任务时，若应用高頻电場电热法的話，就應該仔細地考慮当地所有的条件 [11, 12]，并以此为根据。

作为在高頻电場中加热非导体材料用的电热装置，通常就是具有各种尺寸和外形的电容器。有时（例如干燥木材时），这些电容器就安置在絕热箱里，而箱內的溫度和湿度能够控制[13]。在某些情况下（例如当焊接电缆的氯化乙烯絕緣层时）电容器就具有极其独特的結構形式[14]。

对高頻电場中所进行的电热过程以及为此所应用的电容器的研究，在許多文献中 [15] 有詳細叙述，所以在本书中将不作介紹。

感应加热用的任何感应器，以及連同被加热材料在一起的、介質加热用的任何电容器，都可看作二端网络，在第一种二端网络中电感分量占优势，而在第二种中电容分量占优势。

这些二端网络是由串联或并联的电抗及电阻組成，并具有固定的或变化的电参数。二端网络的等效电路是电子管振蕩器电热装置綫路的主要部分。

对这些电参数和高頻电热装置电力特性的研究，在已发表的許多文献著作[16, 17]中都有叙述，因此，在本书中，当分析电子管振蕩器装置的原理图时，高頻电热装置的計算参数就假設为已知。

§ 1-3 感应加热用电子管振蕩器高頻装置

目前，在各种工业企业和实验室里，都大量采用了各种各样

带电子管振荡器的装置，它们是用来对各种导电材料进行感应加热，而且在功率、电流频率范围、原理图以及结构方面，都彼此有所不同。

本书任务虽不可能对工业上或实验室里所采用的所有各种装置进行研究，然而，研究在电工工业中大批生产的、并在目前应用最广泛的装置，无疑地是适宜的。

目前正大批生产的感应加热用电子管振荡器装置的主要型号列于表 1-1 中。

近几年来，对大多数型号的装置结构、所采用的电气设备和仪表，以及原理图内各个元件的规格，都已进行了统一。这使所有的工业部门能够组织这些装置的成批生产，并使其成本大大降低。

下面将对表 1-1 中所列举装置的结构和线路进行概述，同时，还将介绍对这些装置进行试验而得出的使用特性及电力特性。

在下面所列举的装置中，关于其所测量出的电力指标，必须指出以下几点。

感应加热用电子管振荡器高频装置的一般试验方法，是确定在被加热物体中、在振荡管的阳极以及在线路的其它元件中所消耗的有效功率，并且把测量线路各部分电流和电压的测量仪表的读数记录下来。

由于缺乏直接测量当频率为几百千赫时的有效功率仪表以及测量被感应加热物体中所直接吸收的功率的仪表，所以只好对这些功率采用间接的测量方法。

在试验电子管振荡器电热装置的实践中，靠确定冷却水含热量之差来测量有效功率的方法得到了很大的推广。

例如，确定了振荡管阳极冷却水流量 N (升/秒) 以及出水和进水间之温差 Δt ，就可以计算出振荡管阳极上所消耗的功率：

$$P = 4.18N\Delta t [\text{千瓦}] \quad (1-1)$$

同样，也可以确定放进感应器内的金属量热计所消耗的功率，

表1-1 感应加热用电子管振荡器高频装置的主要数据

技 术 数 据	度 量 单 位	高 频 装 置 的 型 号		
		JIT3-10	JIT3-30	JIT3-60
额定容量	千伏安	15	50	100
振荡功率	千瓦	8	30	60
振荡管的型号	—	GY-89A	T-452	T-452
振荡管的数目	个	1	1	2
最大阳极电压	千伏	8.1⑥	13.5	13.5
工作频率	兆赫	0.5~0.8	0.2~0.3	0.2~0.3
装置的主要用途	—	钎焊，淬火	熔炼，淬火	淬火，锻造，冲压
所占面积(长度×宽度)	米	1.02×1.18	2.5×3.75	2.5×3.75
总重量	吨	0.75	2.7	3.2
供电网电压	伏	220/380	220或380按定购	220或380按定购
整流器的整流管型号	—	B1-237	TP1-6/15	TP1-6/15
整流器的整流管数目	个	6	7	7

① 原文缺为S109——。校者注

或者線路內各个水冷却元件中所損耗的功率。

阳极迴路的振蕩功率 (P_o) 等于整流器輸出功率 $P_0 = U_0 I_0$ 和振蕩管阳极損耗功率之差。考慮到由于单相灯絲电路的存在，电子管振蕩器為非对称負載，應該采用一个三相瓦特計，或者对于不均衡的相位負載按两个单相瓦特計的線路，來測量整个裝置从供电网中所需的功率 (P_e)。

知道了所有这些数值后，就可以很容易地确定連同阳极变压器在一起的整流器的效率：

$$\eta_r = \frac{P_0}{P_e} \circ \quad (1-2)$$

整个裝置的总效率 (η_o) 等于被加热材料所消耗的功率 (P_m) 与功率 P_e 之比，而电子管振蕩器按阳极电流（它决定电子管振蕩器的工作状态）的效率 (η_e) 按以下比值求得：

$$\eta_e = \frac{P_m}{P_0} \circ \quad (1-3)$$

a) ЛГЗ-10 型裝置

ЛГЗ-10 型裝置，主要是对小型的金屬物体 或者 小型的石墨——炭物体，进行表面淬火、钎焊、熔炼、鍛燒等加热之用。

ЛГЗ-10 型裝置結構的正面图及剖視图示于图 1-1。对小型零件进行淬火、鍛造、冲压、钎焊等加热用的感应器，靠安装在正面上测量仪表下面的端鉗，連接到高頻降压变压器的输出端。

在安置于这些感应器內的专用陶瓷坩埚或石墨-炭坩埚中，可以进行小容积的金屬、盐、氧化物和其它材料的熔化。

当想利用輸送带进行零件加热时（例如当钎焊电容器的外壳时），高頻降压变压器的引出端可在左侧壁上引出，这样既可保証輸送带又可保証控制裝置的各个元件有自由通路。为此目的，生产了一台具有輸送带和控制輸送带移动速度用設備的 ЛГЗ-10 K 型全套裝置。这套裝置的全图示于图 1-2。

这个功率較小的裝置，首先是为了滿足許多研究試驗和某些

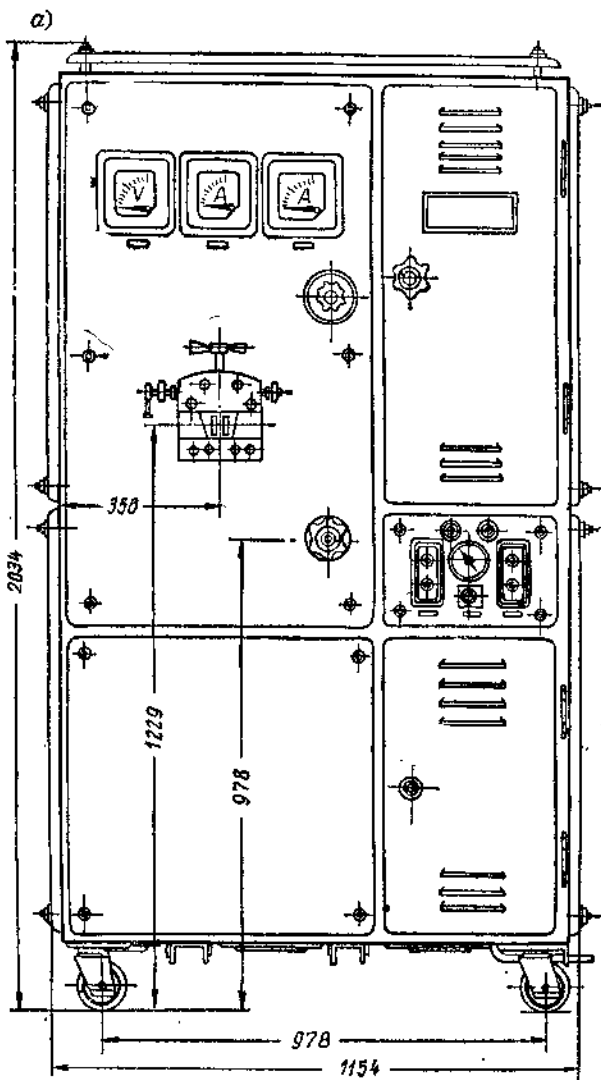
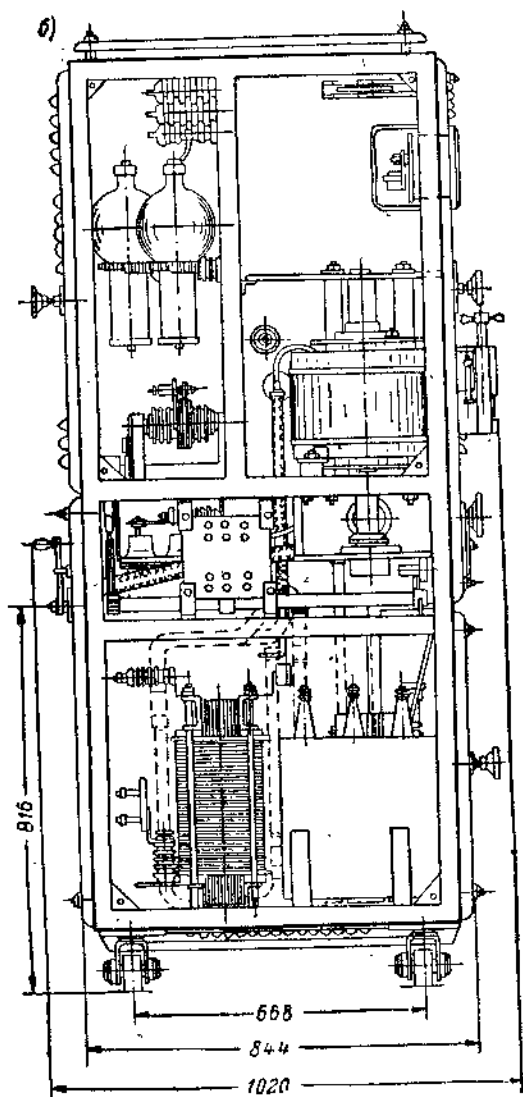


图1-1 ЛГЭ-10
a—正面图；б—侧面



型装置的全图
视图(无外壳)。

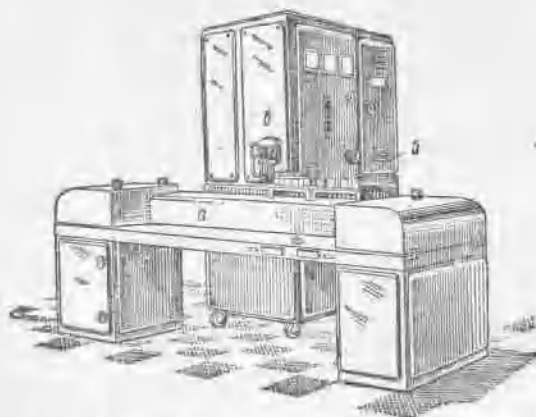


图1-2 电容器外壳钎焊用的MGZ-10 K型装置的全图

a—输送带；b—需进行钎焊的电容器；c—高频变压器由侧面引出的MGZ-10型电子管振荡器。

专门化生产（制造带有金属外壳的小电容器等）的需要。但是今后，这个装置无疑地在金工热处理车间内（那里，在目前的许多情况下，由于工艺过程的要求，不需采用大功率的高频装置）一定将得到很大的推广。

在结构上，MGZ-10型装置乃是一个金属柜，柜内放有这个装置的全部元件（见图1-1）。在装置的下部安置着用自然风冷的电力变压器，其长时间工作的额定容量为11千伏安。在柜上部的后面装有一个整流器，它是采用BT-237型充气整流管，按照拉利奥诺夫（Ларинов）的三相全波整流线路连接而成。

金属柜的前面部分分为两个隔开的单间，在右边的单间内，放有振荡管、阳极隔直流电容器、栅极隔直流电容器、旁路电容器、反寄生振荡电阻以及冷却振荡管外壳用的风扇。在振荡管下面有阳极水冷却架。

在左边的单间内，装有高频降压变压器、阳极回路的水冷瓷介电容器组以及用来移动变压器初级线圈的机械传动装置。在高频变压器下面，安置着振荡管及充气整流管的灯丝电压稳压器。